

A.R. Ghанизاده*

Department of Civil
Engineering, Sirjan University
of Technology, Sirjan.

e-mail: ghanizadeh@sirjantech.ac.ir

N. Heidarabadiزاده

Advanced Bitumen and
Asphalt Mixes Laboratory,
Sirjan University of
Technology, Sirjan.

e-mail: n.heidarabadi1992@gmail.com

S. Dadkani

Department of Civil
Engineering, Sirjan University
of Technology, Sirjan.

e-mail: saeeddadkani@gmail.com

Modeling of Resilient Modulus of Korta Reinforced Asphalt Mixtures Using Response Surface Methodology (RSM)

In this paper, two models have been developed to predict the resilient modulus of asphalt mixtures reinforced with Korta fiber subjected to square and haversine waveform, based on the response surface methodology. To this end, the asphalt mix samples were fabricated with three different percentages of bitumen and four different percentages of Korta fiber and then the resilient modulus was measured at five temperatures, five loading frequencies and two loading waveforms (squared and haversine), using UTM 30 apparatus. In this study, temperature, loading time, bitumen percentage and fiber percentage were considered as inputs variables and the resilient modulus under haversine and square loading waveforms was considered as output variable. The results of this study show that the response surface methodology is able to predict the resilient modulus of fiber reinforced asphalt samples with high accuracy, so that the regression coefficient of the developed equations for the haversine and square loading waveforms is 0.9795 and 0.9777, respectively. Also, the results of sensitivity analysis show that increasing fiber percentage to a certain amount increases the resilience modulus and increasing the fiber content to more than this percentage, decreases the resilient modulus. This study also shows that the optimum percentage of Korta fiber depends on the bitumen content in the asphalt mix. So that in asphalt mixtures with higher bitumen percentages, the optimum fiber percentage was less (about 1 kg/ton) and in mixtures with lower bitumen percentage, the optimum fiber percentage was higher (about 1.5 kg/ton).

Keywords: Resilient Modulus, Korta Fiber, Response Surface Methodology, Loading Waveform, Asphalt Mixes.

* Corresponding author

Received 25 January 2020, Revised 16 April 2020, Accepted 22 April 2020.
DOI: 10.22091/cer.2020.2289.1192

مدل‌سازی مدول برجهندگی مخلوط آسفالتی مسلح شده با الیاف (RSM) کورتا با استفاده از روش سطح پاسخ

علیرضا غنیزاده*

دانشکده مهندسی عمران، دانشگاه

صنعتی سیرجان.

پست الکترونیک:

ghanizadeh@sirjantech.ac.ir

در این مقاله، دو مدل بهمنظور پیش‌بینی مدول برجهندگی مخلوط‌های آسفالتی مسلح شده با الیاف کورتا تحت اثر بارگذاری مربعی و نیم‌سینوسی براساس روش سطح پاسخ، توسعه داده شده است. برای این منظور، نمونه‌های مخلوط آسفالتی با سه درصد مختلف قیر و چهار درصد مختلف الیاف نمونه‌های مخلوط آسفالتی ساخته شدند و سپس در پنج دما، پنج فرکانس بارگذاری و دو شکل بارگذاری مربعی و نیم‌سینوسی، مدول برجهندگی با استفاده از دستگاه 30 UTM اندازه‌گیری شد. در مدل‌های توسعه داده شده، دما، زمان بارگذاری، درصد قیر و درصد الیاف به عنوان متغیرهای ورودی و مدول برجهندگی تحت اثر بارگذاری نیم‌سینوسی و مربعی به عنوان متغیر خروجی در نظر گرفته شد. نتایج این تحقیق نشان می‌دهد که روش سطح پاسخ، قادر به پیش‌بینی مدول برجهندگی نمونه‌های آسفالتی مسلح شده با الیاف با دقت بالا است، به‌گونه‌ای که ضریب رگرسیون مربوط به معادلات توسعه داده شده برای دو شکل موج بارگذاری نیم‌سینوسی و مربعی به ترتیب برابر 0.9795 ± 0.0077 و 0.9777 ± 0.0077 به دست آمد. همچنین نتایج تحلیل حساسیت نشان می‌دهد که افزایش درصد الیاف تا مقدار مشخصی باعث افزایش مدول برجهندگی می‌شود و پس از آن با افزایش درصد الیاف، مقدار مدول برجهندگی کاهش می‌یابد. نتایج این تحقیق همچنین نشان داد که درصد بهینه الیاف تابعی از درصد قیر در مخلوط آسفالتی است؛ به‌گونه‌ای که در مخلوط‌های آسفالتی با درصد قیر بیشتر، درصد الیاف بهینه کمتر (حدود ۱ کیلوگرم در هر تن) و در مخلوط‌های با درصد قیر کمتر، درصد الیاف بهینه بیشتر (حدود $1/5$ کیلوگرم در هر تن) است.

وازگان کلیدی: مدول برجهندگی، الیاف کورتا، روش سطح پاسخ، شکل موج، مخلوط آسفالتی.

۱- مقدمه

از قیر معمولی و مصالح سنگدانه‌ای تحت شرایط خاص ترافیکی و جوی مانند آمدوشد زیاد، دمای بالا، رطوبت، نیروهای برشی زیاد و از این دست، دارای دوام و مقاومت کافی نیست. تاکنون افزودنی‌های زیادی برای اصلاح خواص مخلوط‌های آسفالتی و افزایش دوام آن‌ها پیشنهاد شده است [۶-۱]. یکی از این افزودنی‌ها، الیاف است که به عنوان مسلح کننده در مخلوط‌های آسفالتی استفاده می‌شود. انواع مختلفی از الیاف برای این منظور استفاده می‌شود که به دو دسته الیاف مصنوعی (شیشه، کربن، پلیمر) و الیاف طبیعی (کنف، لیف نارگیل، کنف هندی،

مخلوط‌های آسفالتی با گذشت زمان و تحت تأثیر ترافیک و دما چار خرابی‌های متعددی از جمله تغییر شکل ماندگار و ترک‌های خستگی می‌شوند. آسفالت ساخته شده

* نویسنده مسئول

تاریخ: دریافت ۵/۱۱/۱۳۹۸، پذیرگیری ۸/۰/۱۳۹۹، پذیرش ۰/۰/۱۳۹۹. DOI: 10.22091/cer.2020.2289.1192

دماهای مختلف برای مخلوط مسلح شده با ۱ پوند الیاف در هر تن به دست آمد [۲۰].

در سال ۲۰۱۶، فضایلی و همکاران، عملکرد مخلوط آسفالت ولرم متشكل از ساسوبیت و الیاف پلی الفین-آرامید فورتا را در لایه روکش بررسی کردند. درصد الیاف، ۰/۵ کیلوگرم در تن و درصد ساسوبیت، ۲ درصد وزنی قیر در نظر گرفته شد. نتایج نشان داد که تغییرشکل ماندگار در دمای بالا به میزان ۲ تا ۴ برابر نمونه اصلاح نشده و عمق شیارشدنی ۳۰ درصد کاهش می‌یابد. همچنین آزمایش مدول برجهندگی در دمای ۲۵ درجه و با بارگذاری نیمه‌سینوسی انجام شد که نشان‌دهنده افزایش ۴۷ درصدی مدول برجهندگی نمونه مسلح شده با الیاف در مقایسه با نمونه اصلاح نشده بود [۲۱]. میرعبدالعظیمی و شفابخش، عمق شیارشدنی مخلوط آسفالتی مسلح شده با الیاف کورتا را با استفاده از شبکه عصبی مصنوعی و تکنیک برنامه‌نویسی ژنتیک پیش‌بینی کردند. نتایج این تحقیق نشان می‌دهد که شبکه عصبی مصنوعی پیشنهادی توانایی مناسبی در پیش‌بینی عمق شیارشدنی دارد [۲۲]. جاسکولا^۳ و همکاران، خواص مربوط به ترک‌خوردگی در دمای پایین و مقاومت در برابر تغییرشکل دائمی را مورد ارزیابی قرار دادند. آن‌ها از الیاف پلی آلفین و آرامید فورتا به عنوان مسلح کننده استفاده کردند. حساسیت به ترک‌خوردگی در دمای پایین با نتایج به دست آمده از آزمایش خمش تیوهای مستطیل با نرخ تغییرشکل ثابت و تست خمش نیم‌دایره‌ای براساس تئوری مکانیک شکست ارزیابی شد. عملکرد در دماهای بالا توسط منحنی‌های مرتع مدول دینامیکی بررسی شد. نتایج به دست آمده حاکی از آن است که الیاف ارزیابی شده می‌توانند عملکرد آسفالت در دمای پایین را بهبود دهند [۲۳].

آندروروود^۴ و همکاران، کاهش ضخامت روسازی

سیزال، کتان) تقسیم می‌شوند [۷]. استفاده از الیاف، سبب افزایش مقاومت کششی، عمر خستگی و شکست مخلوط‌های آسفالتی می‌شود [۱۳-۸].

مخلوط‌های آسفالتی مسلح شده با الیاف، نسبت به تغییرشکل دائمی مقاومت بوده و مقاومت کششی بالاتری دارند [۴]. مسلح سازی مخلوط‌های آسفالتی با الیاف، سبب افزایش مقاومت در برابر رطوبت، ذوب و یخ‌بندان و جذب انرژی بیشتر شده و بهمین دلیل، ترک‌های انعکاسی در آسفالت کاهش می‌یابد [۱۷-۱۵].

نخستین استفاده گسترده از الیاف در مخلوط‌های آسفالتی گرم به اواخر دهه ۱۹۵۰ برمی‌گردد. در آن زمان گروه مهندسان ارتش آمریکا، انسیتیو آسفالت و شرکت جونز مانویل^۱، اولین ارزیابی را بر روی استفاده از الیاف آبزست در مخلوط‌های آسفالتی گرم انجام دادند. این بررسی نشان داد که مخلوط‌های حاوی الیاف آبزست، مقاومت کششی، مقاومت فشاری، استقامت و دوام بیشتری دارند [۱۸].

نوروند و همکاران، تأثیر الیاف مصنوعی بر عملکرد مکانیکی بتن آسفالتی را بررسی کردند. نتایج این تحقیق نشان داد که الیاف آرامید باعث افزایش عدد جریان می‌شوند [۱۹]. کالوش^۲ و همکاران، عملکرد مخلوط آسفالتی مسلح شده با درصدهای مختلف الیاف پلی الفین-آرامید فورتا بررسی کردند. آزمایش تغییرشکل ماندگار در دمای ۱۳۰ درجه فارنهایت و با شکل بارگذاری نیمه‌سینوسی انجام شد. نتایج آزمایش تغییرشکل ماندگار نشان داد که عدد جریان برای مخلوط اصلاح شده با ۱ و ۲ پوند الیاف در هر تن به ترتیب ۱۱۵ و ۲۰ برابر بیشتر از نمونه اصلاح نشده است. همچنین شبیه منحنی مرحله دوم نمودار تغییرشکل ماندگار با افزایش الیاف کاهش می‌یابد که نشان‌دهنده افزایش مقاومت در برابر شیارشدنی است. علاوه‌بر این بیشترین مدول دینامیک در

^۱- Jaskula

^۲- Underwood

^۱- Johns-Manville

^۲- Kaloush

مدول برجهندگی بهجای مدول دینامیکی برای آنالیز و طراحی سازه روسازی استفاده شود [۲۶].

مدول برجهندگی در آزمایشات آزمایشگاهی عموماً بهوسیله اعمال یک بار با شکل موج نیم سینوسی با زمان بارگذاری ۰/۱ ثانیه و زمان استراحت ۹/۰ ثانیه اندازه گیری می شود [۲۷ و ۲۸]. این شرایط لزوماً شرایط واقع بینانه را شبیه سازی نمی کنند. به عنوان مثال، تحقیقات اخیر نشان داده اند که شکل و مدت زمان بارگذاری در یک لایه آسفالت با توجه به سرعت خودرو، ضخامت لایه آسفالت، عمق و نسبت مدول لایه آسفالت به مدول لایه اساس متفاوت است [۲۹]. بنابراین هدف اصلی این تحقیق، توسعه مدلی به منظور پیش بینی مدول برجهندگی مخلوط های آسفالتی مسلح شده با الیاف کورتا تحت اثر بارگذاری نیم سینوسی و مربعی است.

بررسی پیشینه تحقیق نشان می دهد همان طور که در تمامی تحقیقات گذشته صرفاً نتایج آزمایشگاهی نمونه های مسلح شده با الیاف با نمونه شاهد مقایسه شده و هیچ گونه مدل سازی به منظور پیش بینی مدول برجهندگی مخلوط های آسفالتی مسلح شده با الیاف کورتا در دماها و فرکانس های بارگذاری مختلف صورت نگرفته است. علاوه بر این، در تمامی تحقیقات گذشته صرفاً از شکل موج نیم سینوسی به منظور اندازه گیری مدول برجهندگی مخلوط های آسفالتی مسلح شده با الیاف استفاده شده است و به بررسی نتایج با شکل موج مربعی پرداخته نشده است.

روش های مختلفی به منظور مدل سازی یک پارامتر خروجی وابسته بر اساس تعدادی پارامترهای ورودی مستقل وجود دارد که از جمله این روش ها می توان به رگرسیون خطی و غیر خطی و همچنین روش های مبتنی بر هوش محاسباتی مانند روش شبکه عصبی مصنوعی اشاره نمود. عیب اصلی روش رگرسیون خطی، عدم دقت بالا در مدل سازی و عیب اصلی روش رگرسیون غیر خطی پیچیده بودن یافتن رابطه غیر خطی و عدم وجود یک

آسفالتی مسلح شده با الیاف فورتا در کشور پرو ارزیابی نمودند. برای انجام این مطالعه، طراحی روسازی به روش مکانیستیک-تجربی (^۴MEPDG) برای پیش بینی عملکرد روسازی به کار گرفته شد. ارزیابی مقایسه ای برای روسازی های متعارف و روسازی تقویت شده با الیاف انجام گردید. نتایج این تحقیق نشان داد که روسازی آسفالتی مسلح شده با الیاف با ضخامت کمتری در مقایسه با روسازی بدون الیاف می تواند عملکرد شیار شدگی یکسانی داشته باشد. همچنین ملاحظه گردید که عمر شیار شدگی روسازی مسلح شده با الیاف در مقایسه با روسازی مسلح نشده برای اقلیم گرم تر و خاک بستر مقاوم تر، افزایش بیشتری می یابد [۲۴].

آزمایش مدول برجهندگی برخلاف آزمایش مدول دینامیکی بین هر دو زمان بارگذاری، یک زمان استراحت در نظر می گیرد و به همین دلیل با واقعیت بارگذاری مخلوط های آسفالتی بیشتر انطباق دارد. همچنین در آزمایش مدول دینامیکی، شکل موج بارگذاری، تنها به صورت سینوسی در نظر گرفته می شود، در حالی که تحقیقات گذشته نشان می دهند که شکل موج بارگذاری در نزدیکی سطح آسفالت به صورت مربعی است و با افزایش عمق، شکل موج بارگذاری رفتار فته به شکل نیم سینوسی نزدیک می شود. عدم در نظر گرفتن زمان استراحت و همچنین شکل موج سینوسی در تعیین مدول دینامیکی سبب می شود تا مدول دینامیکی همواره بیشتر از مدول برجهندگی برآورد شود و تحقیقات گذشته نشان می دهند که به کار گیری مدول دینامیک بهجای مدول برجهندگی مخلوط های آسفالتی، یک پاسخ بحرانی دست پایین را نتیجه می دهد که تأثیر منفی بر پیش بینی عمر خستگی و شیار شدگی روسازی دارد [۲۵ و ۲۶]. مطابق با مطالب بالا، تعدادی از محققین پیشنهاد کردند که

^۵- Mechanistic-Empirical Pavement Design Guide

۱-۲- مصالح

بهمنظور ساخت نمونه‌های آزمایشگاهی از قیر خالص ۶۰-۷۰ پالایشگاه شیراز استفاده شد. همچنین مصالح سنگی به کار رفته در این پژوهش از نوع سنگ شکسته کوهی معدنی واقع در جاده سیرجان- بندرعباس می‌باشد. نتایج آزمایش‌های قیر، مشخصات فیزیکی مصالح سنگی در جداول ۱، ۲ و ۳ آورده شده است. دانه‌بندی مصالح سنگی نیز مطابق با دانه‌بندی شماره ۴ نشریه ۲۳۴ برای مخلوط‌های آسفالتی گرم انتخاب شده که نمودار دانه‌بندی و حدود مجاز آن در شکل ۱ نشان داده شده است.

روش سیستماتیک برای یافتن شکل مدل است. از طرفی، مدل سازی با استفاده از روش شبکه عصبی مصنوعی، نیازمند داشتن تعداد داده زیاد جهت آموزش و آزمون مدل خواهد بود که معمولاً در بسیاری از کارهای آزمایشگاهی جمع‌آوری چنین پایگاه داده‌ای بسیار وقت‌گیر و هزینه‌بر خواهد بود. در تحقیق حاضر، پس از انجام مطالعات آزمایشگاهی و ساخت نمونه‌های استوانه‌ای مارشال حاوی درصدهای مختلف قیر و درصدهای مختلف الیاف از روش سطح پاسخ بهمنظور مدل سازی مدول برجهندگی نمونه‌های مسلح شده با الیاف کورتا تحت اثر بارگذاری نیمسینوسی و مربعی استفاده شده است.

۲- مطالعات آزمایشگاهی

جدول ۱- مشخصات فیزیکی قیر

خواص قیر	%	واحد	استاندارد	حدود مجاز	نتیجه
نفوذ در دمای ۲۵ درجه سانتی‌گراد	۰.۱ mm	ASTM D5	۶۰-۷۰	۶۲	
نقطه نرمی	°C	ASTM D36	۴۹-۵۶	۵۱	
کشش در دمای ۲۵ درجه سانتی‌گراد	cm	ASTM D113	۱۰۰>	۱۰۰>	
حالیت در C_2HCl_3	%	ASTM D2042	۹۹/۵	۹۹/۵	۹۹/۶
نقطه اشتعال	°C	ASTM D92	۲۵۰	۲۵۰	۳۲۰
وزن مخصوص	g/cm³	ASTM D70	۱/۰۱-۱/۰۶	۱/۰۱-۱/۰۶	۱/۰۰۲
افت وزنی	%	ASTM D1754	۰/۲	۰/۲	۰/۰۹

جدول ۲- خواص فیزیکی مصالح

خواص مصالح	استاندارد	اندازه مصالح	نتیجه
درصد تطويل	BS-812	درشت دانه	۱۴
درصد تورق	BS-812	درشت دانه	۲۴
سايشه لس آنجلس	AASHTO T96	درشت دانه	۲۴
شکستگی در یک وجه	ASTM D5821	درشت دانه	۹۵
شکستگی در دو وجه	ASTM D5821	درشت دانه	۹۰
حد خمیری	BS 1377	فيلر	۲۲
حد روانی	ASTM D4318	فيلر	۲۶
شاخص خمیری	ASTM D4318	فيلر	۴

شیارشده‌گی، سبب صرفه اقتصادی از طریق افزایش عمر مخلوط آسفالتی می‌شوند. الیاف پلی الفین موجود در ترکیب در محدوده دمای اختلاط ذوب می‌شوند و بهمین دلیل، به عنوان اصلاح‌کننده قیر عمل می‌کنند.

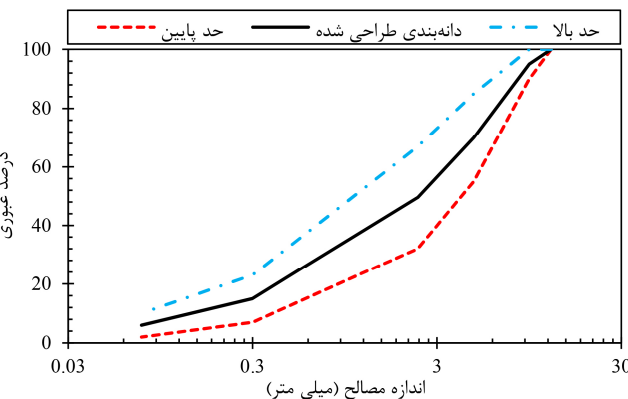
الیاف کورتا مخلوطی از الیاف مصنوعی متتشکل از الیاف آرامید و پلی الفین با مقاومت، دوام و خاصیت چسبندگی بالا است. این الیاف با کاهش و به تأخیر انداختن ترکهای حرارتی، انعکاسی، خستگی و

می کنند [۲۰].

الیاف آرامید نیز به دلیل مقاومت کششی بالا نقش مسلح
کننده سه بعدی دارند و به افزایش مقاومت مخلوط کمک

جدول ۳- مشخصات مصالح سنگی

درصد جذب آب	وزن مخصوص		استاندارد	اندازه مصالح
	حقیقی	ظاهری		
۱/۱۶۷	۲/۶۵۶	۲/۷۴۲	ASTM C-127	درشتدانه ($2/36 < ۲/۳۶$ میلی متر)
۱/۹۱۵	۲/۶۷۹	۲/۷۹	ASTM C-128	ریزدانه ($۰/۳۶ - ۰/۷۵$ میلی متر)
-	-	۲/۶۵۹	ASTM D-854	فیلر ($۰/۰ - ۰/۷۵$ میلی متر)



شکل ۱- نمودار دانه بندی و حدود مجاز

خالی مخلوط آسفالتی متراکم ($V.T.M^6$)، درصد فضای

خالی مخلوط مصالح سنگی ($V.M.A^7$) و درصد فضای

خالی مخلوط سنگی پر شده با قیر ($V.F.A^8$) محاسبه

شد [۳۱-۳۴]. لازم به ذکر است که طرح اختلاط،

براساس مخلوط آسفالتی فاقد الیاف داده شده است و

درصد قیر بهینه به عنوان درصد قیر بهینه برای

مخلوط های آسفالتی بدون الیاف و مسلح شده با الیاف

مورود استفاده قرار گرفته است.

به منظور ساخت نمونه های مسلح شده با الیاف

کورتا، ابتدا الیاف به مصالح سنگی اضافه و پس از اختلاط،

قیر به مصالح اضافه گردید. برای تعیین مدول برجهندگی

نمونه های ساخته شده براساس آزمایش کشش غیر مستقیم

از دستگاه بارگذاری UTM-30 استفاده شد. مدول

از جمله مزایای دیگر الیاف کورتا می توان به مقاومت
کششی بسیار زیاد، وزن کم، فرسایش ناپذیری و مقاومت
حرارتی بالا اشاره کرد. ویژگی های فیزیکی الیاف کورتا در
جدول ۴ آورده شده است.

۲-۲- طرح اختلاط

در تحقیق حاضر، ابتدا نمونه های آسفالتی با
درصد های مختلف قیر ($۴/۰ - ۷/۰$ ، $۴/۵$ ، $۵/۰$ ، $۵/۵$ ، $۶/۰$ و $۶/۵$)^۹
با اعمال ۷۵ ضربه به هر طرف نمونه به روش مارشال
تهییه شدند. سپس براساس استانداردهای اشتون ۱۶۶
اشتون ۲۰۹ و اشتون ۲۴۵ به ترتیب وزن مخصوص،
استحکام و روانی و حداکثر وزن مخصوص نظری
نمونه های آسفالتی تعیین گردید و براساس معادلات
مندرج در نشریه MS-2 انتستیتو آسفالت، درصد فضای

⁶- Void in the Total Mix

⁷- Void in Mineral Aggregate

⁸- Void Filled with Asphalt

شکل موج بارگذاری نیم سینوسی و مربعی اندازه‌گیری شد [۳۵]. مقادیر پارامترهای طرح اختلاط بهازای درصد بهینه قیر در جدول ۵ آورده شده است.

برجهندگی مطابق استاندارد ASTM-D4123 در ۵ دمای مختلف ۵، ۱۵، ۲۵ و ۳۵ درجه سانتی‌گراد با مقدار صفر، ۱ و ۱/۵ کیلوگرم الیاف در هر تن با دو

جدول ۴- خواص فیزیکی الیاف کورتا

آرامید	پلی آلفین	مواد
تک رشتہ‌ای	تک رشتہ‌ای- دو رشتہ‌ای	شکل
۱/۴۴	۰/۹۱	وزن مخصوص
۴۰۰۰۰	۷۰۰۰۰	مقاومت کششی (psi)
۱۹	۱۹	طول (میلی‌متر)
زرد	سیاه	رنگ
بی‌اثر	بی‌اثر	مقاومت اسیدی / بازی

جدول ۵- پارامترهای مخلوط آسفالتی به ازای درصد قیر بهینه

محدوده	مقادیر	پارامتر
-	۵/۶	درصد بهینه قیر
۳-۵	۴/۰	درصد فضای خالی
حداقل ۱۳	۱۳/۶	درصد فضای خالی مخلوط مصالح سنگی (V.M.A)
۶۰-۷۵	۶۴	درصد فضای خالی مخلوط مصالح سنگی پرشده با قیر (V.F.A)
۲-۳/۵	۲/۵	(mm) روانی
-	۲۴۵۸	وزن مخصوص (kg/m ^۳)
حداقل ۸	۱۶	استقامت مارشال (kN)

هر پالس با دو شکل بارگذاری نیم سینوسی و مربعی مورد آزمایش قرار گرفتند.

به منظور حذف اثرات نحوه ساخت و تراکم، هر نمونه باید دو بار تحت آزمایش مدول برجهندگی قرار گیرد. ابتدا در راستای اول، آزمایش انجام شد و سپس نمونه در نوبت دوم به اندازه ۹۰ درجه چرخانده شده و آزمایش مجدد تکرار شد. مقدار میانگین دو آزمایش به عنوان مقدار مدول برجهندگی گزارش می‌شود. جهت تعیین مقدار مدول برجهندگی از رابطه (۱) استفاده می‌شود:

$$M_R = \frac{P \times (v + 0.27)}{t \times \Delta H} \quad (1)$$

که در آن:

M_R : مدول برجهندگی بر حسب مگاپاسکال،

P : بار تکراری بر حسب نیوتون،

v : نسب پواسون،

۳-۲- آزمایش مدول برجهندگی

مدول برجهندگی به عنوان پارامتری مهم در شناسایی عملکرد مصالح روسازی برای تحلیل پاسخ روسازی تحت اثر بارگذاری ترافیکی مطرح می‌باشد. این پارامتر با اعمال بارگذاری در مدل کشش غیرمستقیم و با انجام بارگذاری تکراری تعیین می‌شود (شکل ۲). در استاندارد ASTM D4121 روش تعیین مدول برجهندگی مخلوط‌های آسفالتی با این روش بیان شده است [۳۵]. در این تحقیق، جهت تعیین مدول برجهندگی از دستگاه UTM30 براساس استاندارد مذکور استفاده شده است.

نمونه‌ها در ۵ دمای ۵، ۱۵، ۲۵ و ۳۵ درجه سانتی‌گراد، با زمان بارگذاری ۰/۰۵، ۰/۱، ۰/۲ و ۰/۵ ثانیه و زمان استراحت ۰/۴۵، ۰/۹، ۱/۸ و ۴/۵ ثانیه در

فرآيند که مقادير مطلوب پاسخ را منجر می‌شود، است.
در اين تحقيق، بيشتر بر كاربرد دوم روش سطح
پاسخ یعنی مدل‌سازی آماري بهمنظور توسعه يك رابطه
تقريباً مناسب ميان پاسخ Y و متغيرهاي مستقل
 $\xi_1, \xi_2, \dots, \xi_k$ تمرکز شده است. رابطه کلي بهصورت زير
است:

$$Y = f(\xi_1, \xi_2, \dots, \xi_k) + \varepsilon \quad (2)$$

که در آن شكل تابع پاسخ دقيق f ناشناخته است و ممکن
است پيچيده باشد و ε نشان‌دهنده خطاي مدل‌سازی
است که در تابع f بهحساب نيماده است. ε عموماً شامل
اثرات خطاي اندازه‌گيري بر پاسخ و همچنین تأثير خطاي
ناشي از عوامل پaramترهاي ورودي ناشناخته در مدل‌سازی
است. ε همانند يك خطاي آماري رفتار کرده که اغلب به
جهت داشتن يك توزيع احتمال نرمال با ميانگين صفر و
واريانس ۵ فرض می‌شود. پس داريم:

$$\begin{aligned} E(y) &= \eta = E[f(\xi_1, \xi_2, \dots, \xi_k)] + \\ E(\varepsilon) &= f(\xi_1, \xi_2, \dots, \xi_k) \end{aligned} \quad (3)$$

متغيرهاي طبیعی $\xi_1, \xi_2, \dots, \xi_k$ در رابطه (3) عموماً
متغيرهاي طبیعی ناميده می‌شوند، زيرا با واحدهاي
اندازه‌گيري طبیعی مانند درجه سانتي‌گراد يا کيلوگرم بر
متريکعب بيان شده‌اند. در اکثر تحقيقات مبتنی بر مدل
سطح پاسخ، بهراحتی می‌توان متغيرهاي طبیعی را به
متغيرهاي کد شده x_1, x_2, \dots, x_k که عموماً بهصورت
بي‌بعد، با ميانگين صفر و همان واريانس تعريف می‌شوند،
تبديل نمود. با در نظر گرفتن متغيرهاي کد شده، تابع
پاسخ رابطه (3) بهصورت زير نوشته خواهد شد:

$$\eta = f(x_1, x_2, \dots, x_k) \quad (4)$$

به دليل ناشناخته بودن شكل تابع پاسخ f ، باید آن
را تقریب زد. در حقیقت، استفاده موفق از سطح پاسخ به
توانایي محقق برای توسعه يك تقریب مناسب برای f
بستگی دارد. عموماً، يك تابع چندجمله‌ای مرتبه پايان
در منطقه نسبتاً کوچکی از فضای متغير مستقل، مناسب
است. در بسياري موارد، از يك مدل چندجمله‌ای مرتبه
اول يا مرتبه دوم استفاده می‌شود. مدل‌های مرتبه اول

٪ ضخامت نمونه بر حسب ميلی متر و

ΔH : تغييرشكيل برگشت‌پذير افقی بر حسب ميلی متر است.
مقادير نسبت پواسون در نظر گرفته‌شده براساس
دما در جدول ۶ داده شده است.

جدول ۶- مقادير ضريب پواسون براساس دما

دما	-۵	۵	۱۵	۲۵	۳۵
نسبت پواسون	۰/۱۸	۰/۲	۰/۲۶	۰/۳۲	۳۸



شكل ۲- تجهيزات مربوط به اندازه‌گيري مدول برجهندگي
مخلوط‌های آسفالتی

۳- روش سطح پاسخ

روش سطح پاسخ (RSM^۹) مجموعه‌اي از
روش‌های آماري و رياضي مفيد برای توسعه، بهبود و
بهينه‌سازی فرآيندها می‌باشد [۳۰]. روش سطح پاسخ،
يک روش مبتنی بر رگرسيون برای برقراری ارتباط بين
چندين متغير ورودي بهطور بالقوه و يك پaramتر خروجي
است. در اصطلاح به اين پaramتر خروجي، پاسخ گفته
مي‌شود. متغيرهاي ورودي در اغلب اوقات بهعنوان
متغيرهاي مستقل شناخته می‌شوند و در عمل، وابسته به
كتrol محققان و مهندسان می‌باشند. روش سطح پاسخ،
متشكل از راهيردهای علمي برای کاوش در فضای فرآيند
يا متغيرهاي مستقل، مدل‌سازی آماري- تجربی بهمنظور
توسعه يك رابطه مناسب ميان متغيرهاي ورودي و
خروجي و بهينه‌سازی روش‌ها برای یافتن مقدار متغيرهاي

^۹- Response Surface Methodology

مرتبه دوم در حل مسائل واقعی سطح پاسخ است.

در حالت کلی، می‌توان مدل مرتبه اول را به صورت زیر نوشت:

$$\eta = \beta_0 + \beta_1 x_1 + \beta_2 x_2 + \dots + \beta_k x_k \quad (8)$$

و مدل مرتبه دوم نیز به صورت رابطه (۹) خواهد بود:

$$\begin{aligned} \eta &= \beta_0 + \sum_{j=1}^k \beta_j x_j + \sum_{j=1}^k \beta_{jj} x_j^2 + \\ &\quad \sum_{i=1}^k \sum_{j=2}^k \beta_{ij} x_i x_j \end{aligned} \quad (9)$$

در این تحقیق، به منظور ساخت مدل RSM از نسخه ۱۲ نرم‌افزار Design Expert استفاده شده است. این نرم‌افزار امکان برآش، تحلیل و مقایسه توابع مختلف اعم از خطی، برهم‌کنش (2FI) و چندجمله‌ای را فراهم می‌کند. همچنین صحت مدل^{۱۰} با استفاده از آزمون فیشر سنجیده شد و دقت عملکرد مدل به وسیله ضریب رگرسیون (R^2) مورد ارزیابی قرار گرفت. به علاوه، تأثیر متغیرهای ورودی بر روی مقاومت فشاری با استفاده از تحلیل واریانس (ANOVA)^{۱۱} بررسی شد.

۴- پایگاه داده مورد استفاده

به منظور مدل‌سازی مدول برجهندگی مصالح مسلح شده با الیاف کورتا مجموعاً ۳۰۰ داده مورد بررسی و ارزیابی قرار گرفتند. در واقع نمونه‌های ساخته شده با سه درصد مختلف قیر (۵/۱، ۵/۶ و ۶/۱) که به ترتیب نیم درصد کمتر از مقدار قیر بهینه، مقدار قیر بهینه و نیم درصد بیشتر از قیر بهینه)، ۴ مقدار مختلف الیاف کورتا (صفر، ۱/۵ و ۱/۵ کیلوگرم در هر تن آسفالت) در ۵ دمای مختلف (۵، ۱۵، ۲۵ و ۳۵)، در ۵ نرخ بارگذاری مختلف (۵۰، ۱۰۰، ۲۰۰ و ۵۰۰ و ۱۰۰۰ میلی‌ثانیه) و با دو شکل موج بارگذاری مربعی و نیم‌سینوسی تحت آزمایش مدول برجهندگی به روش کشش غیرمستقیم

زمانی مناسب‌بند که محقق علاقه‌مند باشد تا سطح پاسخ صحیح را در بیش از یک منطقه نسبتاً کوچک از فضای متغیر مستقل و محلی که در آن انحنای کمی در f وجود دارد، تخمین بزند.

در صورت وجود دو متغیر مستقل، مدل مرتبه اول با توجه به متغیرهای کد شده به صورت زیر نوشتہ می‌شود:

$$\eta = \beta_0 + \beta_1 x_1 + \beta_2 x_2 \quad (5)$$

که در این رابطه ضرایب β_i پارامترهای ثابت مدل می‌باشند. شکل مدل مرتبه اول در معادله (۵)، گاهی اوقات تحت عنوان مدل تأثیرات اصلی نامیده می‌شود، زیرا فقط اثرات اصلی دو متغیر فرضی x_1 و x_2 را شامل می‌شود. در صورت وجود یک برهم‌کنش بین این متغیرها، می‌توان آن را به سادگی به مدل افزود:

$$\eta = \beta_0 + \beta_1 x_1 + \beta_2 x_2 + \beta_{12} x_1 x_2 \quad (6)$$

افزودن جزء برهم‌کنش، معرف انحنای تابع پاسخ خواهد بود. اغلب احنا در سطح پاسخ صحیح به اندازه‌ای است که مدل مرتبه اول (حتی با وجود جزء برهم‌کنش) برای تقریب آن دارای کارایی لازم نیست. در این شرایط به مدل مرتبه دوم نیاز خواهد بود. در حالت وجود دو متغیر مستقل، مدل مرتبه دوم به صورت زیر می‌باشد:

$$\begin{aligned} \eta &= \beta_0 + \beta_1 x_1 + \beta_2 x_2 + \beta_{11} x_1^2 + \beta_{22} x_2^2 + \\ &\quad \beta_{12} x_1 x_2 \end{aligned} \quad (7)$$

این مدل می‌تواند به عنوان یک تقریب از سطح پاسخ صحیح در یک منطقه نسبتاً کوچک، مفید واقع شود. دلایل استفاده از مدل مرتبه دوم موارد زیر است:

- ۱- مدل مرتبه دوم بسیار انعطاف‌پذیر است و می‌تواند طیف گسترده‌ای از توابع را در برگیرد. به همین منظور، اغلب به عنوان یک تقریب سطح پاسخ صحیح، به خوبی عمل خواهد کرد.

- ۲- محاسبه پارامترهای β به راحتی انجام خواهد پذیرفت و برای این منظور می‌توان از روش حداقل مربعات استفاده نمود.

- ۳- تجارب عملی نشان‌دهنده عملکرد مناسب مدل

¹⁰- Significant of the model

¹¹- Analysis of variance

و خروجی را برای پایگاه داده مورد استفاده نشان می‌دهد.

قرار گرفتند. جدول ۷ مشخصات آماری پارامترهای ورودی

جدول ۷-مشخصات آماری پارامترهای ورودی و خروجی را برای پایگاه داده مورداستفاده.

پارامترهای خروجی		پارامترهای ورودی				پارامتر
مدول برجهندگی با بارگذاری	نیم سینوسی	درصد الیاف (گرم در تن)	درصد قیر (درصد)	زمان بارگذاری (میلی ثانیه)	دما (درجه سانتی گراد)	
۱۳۵۱۱/۵	۱۶۴۶۸	۱/۵	۶/۱	۱۰۰۰	۳۵	حداکثر
۲۱۴/۵	۳۴۰	صفر	۵/۱	۵۰	-۵	حداقل
۳۱۶۴	۴۵۸۲۳/۵	۰/۵	۵/۶	۲۰۰	۱۵	میانه
۴۲۹۱/۷۶	۵۸۲۵/۷۶	۰/۷۵	۵/۶	۳۷۰	۱۵	میانگین
۳۵۸۶/۶۴	۴۵۷۸/۱۱	۰/۵۶	۰/۴۱	۳۵۲/۱۶	۱۴/۱۷	انحراف معیار

تابع درجه دوم برتری بیشتری دارد (جدول ۸). این مدل علاوه‌بر مقدار کم p ضریب رگرسیون ۰/۹۷۷ و ۰/۹۷۹ را بهتر ترتیب برای شکل موج بارگذاری نیم سینوسی و مربعی نتیجه داد. منظور از درجه آزادی رگرسیون و خطای در هر مدل به ترتیب نشان‌دهنده تعداد متغیرهای پذیرفته شده و کنار گذاشته شده به دلیل تأثیر کم آن‌ها در فرآیند پیش‌بینی از مدل کلی ساخته شده است.

۵- ارزیابی مدل ساخته شده توسط RSM

در این تحقیق از سه تابع خطی، برهم‌کنش و درجه دوم به منظور توسعه مدل سطح پاسخ جهت پیش‌بینی مدول برجهندگی نمونه‌های آسفالتی مسلح شده با الیاف کورتا استفاده شده است. مقایسه نتایج نشان می‌دهد که برای هر دو شکل موج بارگذاری نیم سینوسی و مربعی،

جدول ۸- مقایسه مدل‌های ساخته شده برای پیش‌بینی مدول برجهندگی

R ²	Prob>F	F	میانگین مربعات	درجه آزادی	مجموع مربعات	مدل	شکل موج
۰/۹۳۸۸	<۰/۰۰۰۱	۱۱۳۱/۳۴	۱۵/۱۰	۴	۶۰/۳۸	خطی	نیم سینوسی
۰/۹۴۹۸	<۰/۰۰۰۱	۵۴۷/۰۶	۶/۱۱	۱۰	۶۱/۰۹	برهم‌کنش (2FI)	
۰/۹۷۹۵	<۰/۰۰۰۱	۹۷۱/۶۱	۴/۵	۱۴	۶۳	درجه دوم	
۰/۹۴۳۲	<۰/۰۰۰۱	۱۲۲۵/۴۵	۱۶/۷۷	۴	۶۷/۰۶	خطی	
۰/۹۵۷۲	<۰/۰۰۰۱	۶۴۶/۴۵	۶/۸۱	۱۰	۶۸/۰۶	برهم‌کنش (2FI)	
۰/۹۷۷۷	<۰/۰۰۰۱	۸۹۰/۵۲	۴/۹۶	۱۴	۶۹/۵۱	درجه دوم	مربعی

می‌تواند در پیش‌بینی مدول برجهندگی تأثیرگذار باشد. علت انتخاب این متغیرها، مقادیر کمتر از ۰/۰۵ برای پارامتر Prob>F است. همچنین با توجه به مقادیر F درجه اهمیت هریک از متغیرها به صورت روابط (۱۰) و (۱۱) قابل بیان است. در این روابط، T دما، LT زمان بارگذاری، BC درصد قیر و KF درصد الیاف می‌باشد.

براساس جدول ۹، تحلیل واریانس نشان می‌دهد که علاوه‌بر تمامی متغیرهای اولیه، برهم‌کنش میان دما با زمان بارگذاری، درصد قیر و درصد الیاف، برهم‌کنش میان زمان بارگذاری با درصد قیر و درصد الیاف، برهم‌کنش میان درصد قیر و درصد الیاف، مجذور دما، مجذور زمان بارگذاری، مجذور درصد قیر و مجذور درصد الیاف نیز

(الف) پیش‌بینی مدول برجهندگی براساس شکل موج بارگذاری نیم سینوسی:

$$T > LT > T^2 > "T \times LT" > LT^2 > "T \times BC" > KF^2 > BC > "BC \times KF" > KF > "T \times KF" > "LT \times KF" > BC^2 > "LT \times BC" \quad (10)$$

(ب) پیش‌بینی مدول برجهندگی براساس شکل موج بارگذاری مربعی:

$$T > LT > T^2 > "T \times LT" > LT^2 > KF^2 > "BC \times KF" > BC > "T \times BC" > BC^2 > "T \times KF" > KF > "LT \times BC" > "LT \times KF" \quad (11)$$

جدول ۹- تحلیل واریانس

متغیر	نماد	مجموع مربعات	F	Prob>F	متغیر	مجموع مربعات	F	Prob>F	شکل موج بارگذاری نیم سینوسی	شکل موج بارگذاری مربعی
دما	T	۵۱/۶۳	۱۱۱۴۷/۷۲	<0/0001	۴/۴۳	۷۹۴/۴۱	۰/۰۶۸۱	<0/0001	۱۰۳۹۲/۶۶	<0/0001
زمان بارگذاری	LT	۳/۸۱	۸۲۱/۸۸	<0/0001	۰/۰۶۸۱	۱۲/۲۱	۰/۰۰۰۶	<0/0001		
درصد قیر	BC	۰/۰۵۷۸	۱۲/۴۸	<0/0005	۰/۰۰۰۵	۰/۷۸۸۹	۰/۳۷۵۲	<0/0001		
درصد الیاف	KF	۰/۰۲۴۸	۵/۳۶	<0/0213	۰/۰۰۴۴	۰/۰۰۹۱	۰/۰۰۹۱	<0/0001		
برهمکنش دما و زمان بارگذاری	T×LT	۰/۰۵۷۳۳	۱۲۳/۸	<0/0001	۰/۸۴۸۸	۱۵۲/۲۴	<0/0001	<0/0001		
برهمکنش دما و درصد قیر	T×BC	۰/۰۷۴۱	۱۵/۹۹	<0/0001	۰/۰۳۸۵	۶/۹	۰/۰۰۹۱	<0/0001		
برهمکنش دما و درصد الیاف	T×KF	۰/۰۰۳۱	۰/۶۶۷	۰/۰۱۴۸	۰/۰۰۱	۱/۸	۰/۱۸۱۱	<0/0001		
برهمکنش زمان بارگذاری و درصد قیر	LT×BC	۰/۰۰۱۲	۰/۲۵۳	۰/۶۱۵۴	۰/۰۰۹۹	۰/۱۷۰۴	۰/۶۸۰۱	<0/0001		
برهمکنش زمان بارگذاری و درصد الیاف	LT×KF	۰/۰۰۲۳	۰/۵۰۳۳	۰/۴۷۸۶	۰/۰۰۶۲	۰/۹۳۷۱	<0/0001	<0/0001		
برهمکنش درصد قیر و درصد الیاف	BC×KF	۰/۰۵۴۹	۱۱/۸۵	۰/۰۰۰۷	۰/۰۹۵۲	۱۷/۰۷	<0/0001	<0/0001		
مجذور دما	T ²	۱/۳۸	۲۹۷/۵۴	<0/0001	۰/۸۸۷	۱۵۹/۱	<0/0001	<0/0001		
مجذور زمان بارگذاری	LT ²	۰/۴۶۲۹	۹۹/۹۴	<0/0001	۰/۴۲۵۶	۷۶/۳۳	<0/0001	<0/0001		
مجذور درصد قیر	BC ²	۰/۰۰۱۳	۰/۲۶۹۹	۰/۰۲۴۱	۰/۰۳۲	۴/۳۲	۰/۰۳۸۳	<0/0001		
مجذور درصد الیاف	KF ²	۰/۰۶۵۳	۱۴/۰۹	۰/۰۰۰۲	۰/۱۱۶۷	۰/۰۹۳	۲۰/۹۳	<0/0001		

نشان‌دهنده میزان اثرگذاری آن‌ها بر مدول برجهندگی است. جدول ۱۰ تحلیل آماری مدل RSM را نشان می‌دهد.

مدل ساخته شده توسط روش سطح پاسخ برای اندازه‌گیری مدول برجهندگی برای دو شکل موج بارگذاری نیم سینوسی و مربعی به ترتیب در روابط (۱۲) و (۱۳) آورده شده است. ضرایب هریک از متغیرها

$$\log(Mr) = 4.35181 - 0.00036 \cdot T - 0.00058 TL - 0.13866 BC + 0.43958 KF - 8.79258 \times 10^{-6} T \times TL - 0.00272 T \times BC + 0.00041 T \times KF - 0.000014 TL \times BC - 0.000014 TL \times KF - 0.059276 BC \times KF - 0.00041 T^2 + 4.59025 \times 10^{-7} TL^2 + 0.01372 BC^2 - 0.05899 KF^2 \quad (12)$$

$$\begin{aligned} \log(Mr) = & 6.07346 - 0.00816T - 0.00058TL - 0.79849BC + 0.55102KF - 0.000017 \times TL - \\ & 0.00196T \times BC + 0.00073T \times KF - 0.000017TL \times BC + 1.73381 \times 10^{-6} TL \times KF - 0.07805BC \times KF \\ & - 0.00033T^2 + 4.40151 \times 10^{-7} TL^2 + 0.07613BC^2 - 0.07889KF^2 \end{aligned} \quad (13)$$

جدول ۱۰- تحلیل آماری مدل RSM

پارامترها	R^2	شکل موج بارگذاری نیمسینوسی	شکل موج بارگذاری مربعی
R^2 تعديل شده	۰/۹۷۷۷	۰/۹۷۹۵	۰/۹۷۷۷
R^2 پیش‌بینی شده	۰/۹۷۶۶	۰/۹۷۸۵	۰/۹۷۶۶
R^2 پیش‌بینی شده	۹۷۵۱	۰/۹۷۷۲	۹۷۵۱
(Adeq precision)	۱۰۷/۵۲۵۲	۱۱۰/۹۵۲۷	۱۰۷/۵۲۵۲
انحراف معیار	۰/۰۷۴۷	۰/۰۶۸۱	۰/۰۷۴۷
ضریب تغییر (C.V. %)	۲/۱۹	۱/۹۱	۲/۱۹

که M تعداد کل داده‌ها در هر مجموعه، h_i مقدار اندازه‌گیری شده آمین مدول برجهندگی، t_i مقدار پیش‌بینی شده آمین مدول برجهندگی، \bar{h}_i میانگین h_i و \bar{t}_i میانگین t_i است. مقادیر این پارامترها در جدول (۱۱) داده شده است. مقایسه نتایج پیش‌بینی شده توسط روش سطح پاسخ با مقادیر اندازه‌گیری شده برای دو شکل موج بارگذاری نیمسینوسی و مربعی در شکل ۳ نشان داده شده است. مقادیر بالای R^2 نشان‌دهنده دقت بالای مدل ارائه شده برای پیش‌بینی مدول برجهندگی است.

۶- تحلیل حساسیت

از جمله مزیت‌های روش سطح پاسخ (RSM)، بررسی تأثیرات برهمنکش متغیرهای ورودی مختلف بر میزان خروجی مدل است. در این تحقیق، مدل نهایی به دست آمده شامل برهمنکش میان دما با زمان بارگذاری، درصد قیر و درصد الیاف، برهمنکش میان زمان بارگذاری با درصد قیر و درصد الیاف و همچنین برهمنکش میان درصد قیر و درصد الیاف است.

شكل‌های ۴ و ۵ (الف)، تأثیر زمان بارگذاری و دما را بر مدول برجهندگی مخلوط آسفالتی به ترتیب تحت بار نیمسینوسی و مربعی نشان می‌دهد. همان‌گونه که انتظار می‌رود با افزایش زمان بارگذاری و دما، مقدار مدول

برای محاسبه دقت و عملکرد روش سطح پاسخ از روابط آماری زیر استفاده شد که مقادیر کمتر خطای جذر میانگین مربعات (^{۱۲} RMSE)، متوسط انحراف مطلق (MAPE ^{۱۴}) و متوسط درصد خطای مطلق (MAD ^{۱۳}) نشان‌دهنده دقت بالاتر مدل توسعه داده شده خواهد بود. در واقع برای یک مدل پیش‌بینی دقیق و بدون هیچ‌گونه خطای می‌توان مقدار یک را برای R^2 و مقدار صفر را برای RMSE و MAPE و MAD انتظار داشت.

$$RMSE = \sqrt{\frac{1}{M} \sum_{i=1}^M (h_i - t_i)^2} \quad (14)$$

$$R^2 = \left[\frac{\sum_{i=1}^M (h_i - \bar{h}_i)(t_i - \bar{t}_i)}{\sqrt{\sum_{i=1}^M (h_i - \bar{h}_i)^2 \sum_{i=1}^M (t_i - \bar{t}_i)^2}} \right]^2 \quad (15)$$

$$MAD = \frac{\sum_{i=1}^M |h_i - t_i|}{M} \quad (16)$$

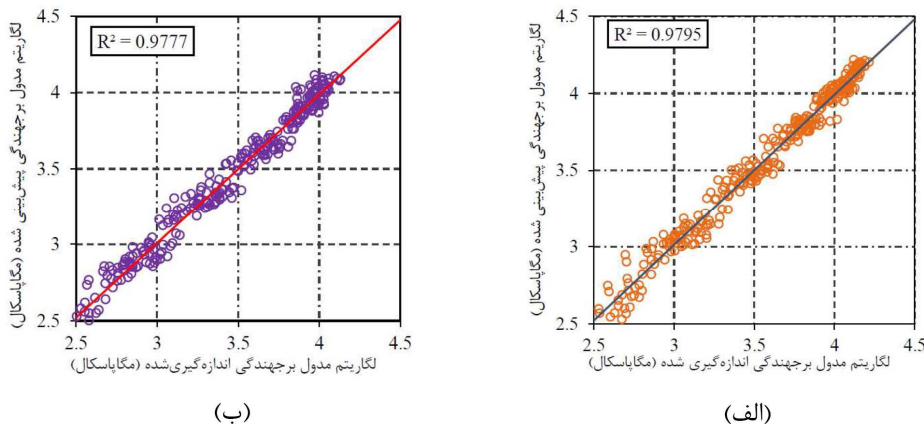
$$MAPE = \frac{\sum_{i=1}^M |h_i - t_i|}{\sum_{i=1}^M h_i} \times 100 \quad (17)$$

¹²- Root-mean-square error¹³- Mean Absolute Deviation¹⁴- Mean absolute percentage error

برجهندگی مخلوط‌های آسفالتی کاهش می‌یابد.

جدول ۱۱- دقت مدل RSM

MAPE	MAD	RMSE	R ²	مدل
۰/۰۱۴۶۶	۰/۴۲۳۴۶	۰/۰۶۶۳۳	۰/۹۷۹۵	بارگذاری نیم سینوسی
۰/۰۱۷۲۶	۰/۴۳۶۷۲	۰/۰۷۲۷۸	۰/۹۷۷۷	بارگذاری مربعی



شکل ۳- مقادیر پیش‌بینی شده و اندازه‌گیری شده توسط RSM برای شکل موج بارگذاری (الف) نیم سینوسی و (ب) مربعی

برجهندگی با افزایش درصد قیر، تقریباً مستقل از زمان بارگذاری است. در شکل‌های ۴ و ۵ (۵) و (۶) ملاحظه می‌شود که افزایش درصد الیاف تا مقدار مشخصی باعث افزایش مدول برجهندگی می‌شود و پس از آن با افزایش درصد الیاف، مقدار مدول برجهندگی کاهش می‌یابد. درصد بهینه الیاف، تابعی از درصد قیر در مخلوط آسفالتی است. به‌گونه‌ای که در مخلوط‌های آسفالتی با درصد قیر بیشتر، درصد الیاف بهینه کمتر (حدود ۱ کیلوگرم در هر تن) و در مخلوط‌های با درصد قیر کمتر، درصد قیر بهینه بیشتر (حدود ۱/۵ کیلوگرم در هر تن) است.

۷- نتیجه‌گیری

نتایج این تحقیق به شرح زیر قابل‌بیان است:

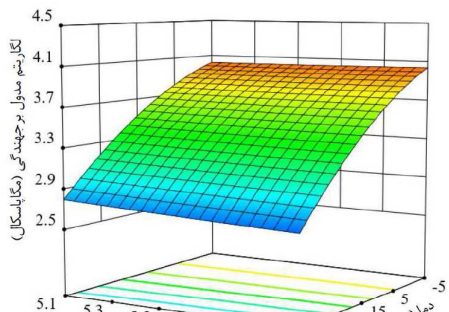
- در این تحقیق از سه تابع درجه دوم، خطی و برهمنکش بهمنظور پیش‌بینی مدول برجهندگی مصالح آسفالتی مسلح شده با الیاف کورتا با دو شکل موج بارگذاری نیم سینوسی و مربعی استفاده شد که دقت مدل می‌تنی بر تابع درجه دوم نسبت به سایر مدل‌ها در هر دو شکل موج

همچنین ملاحظه می‌شود که تأثیر افزایش زمان بارگذاری بر کاهش مدول برجهندگی در دماهای بالا مشهودتر است. علت این امر را می‌توان به این صورت تشریح کرد که در دماهای پاییان، رفتار مخلوط‌های آسفالتی به رفتار الاستیک خطی نزدیک می‌شود و همین موضوع سبب می‌شود تا زمان بارگذاری تأثیر چندانی بر روی مدول برجهندگی و پاسخ‌های تنش-کرنش مخلوط‌های آسفالتی نداشته باشد. همچنین ملاحظه می‌شود که مقدار مدول برجهندگی تحت اثر بارگذاری مربعی کمتر از مقدار مدول برجهندگی تحت اثر بارگذاری نیم سینوسی است. این نتایج با نتایج به دست آمده از سایر تحقیقات سازگاری دارد.

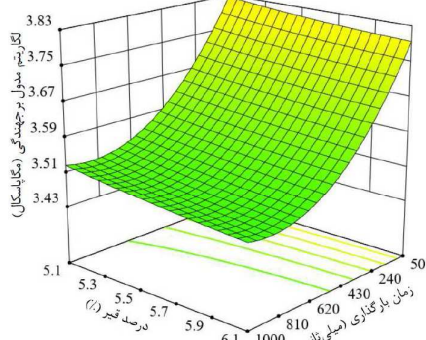
شکل‌های ۴ و ۵ (۵) و (۶) نشان می‌دهند که تأثیر درصد قیر و درصد الیاف بر روی مدول برجهندگی در مقایسه با تأثیر دما بر روی مدول برجهندگی قابل صرف‌نظر کردن است.

شکل‌های ۴ و ۵ (۵) نشان می‌دهند که افزایش درصد قیر باعث کاهش مدول برجهندگی می‌شود. همچنین ملاحظه می‌شود که نرخ کاهش مدول

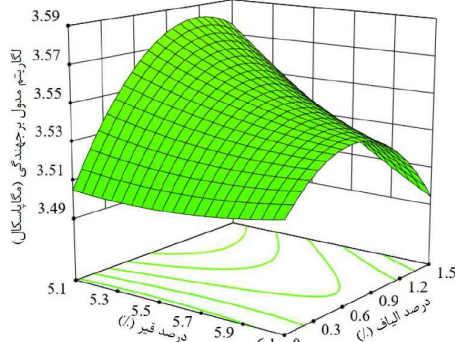
۰/۹۷۹۵ و ۰/۹۷۷۷ به دست آورد.



(ب)-برهم‌کنش دما و درصد قیر بر مدول برجهندگی



(د)-برهم‌کنش زمان بارگذاری و درصد قیر بر مدول برجهندگی



(و)-برهم‌کنش درصد قیر و درصد الیاف بر مدول برجهندگی

شکل ۴-برهم‌کنش پارامترهای ورودی بر مدول برجهندگی به دست آمده براساس شکل موج نیمسینوسی

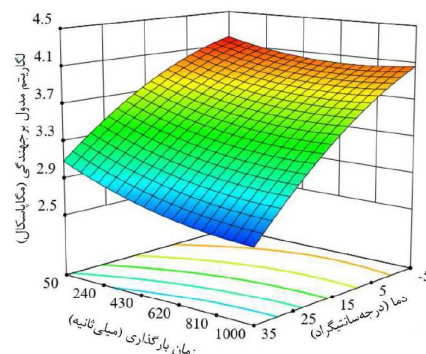
مجذور درصد الیاف نیز می‌تواند در پیش‌بینی مدول برجهندگی تأثیرگذار باشد و درجه اهمیت متغیرها به صورت زیر است:

(الف) براساس شکل موج بارگذاری نیمسینوسی:

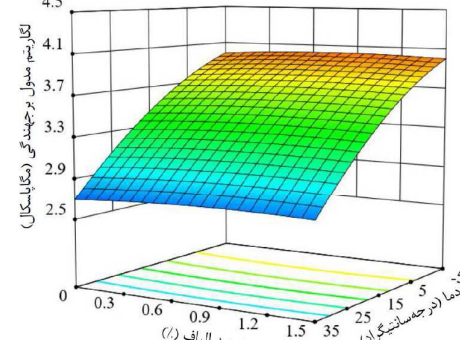
$$\begin{aligned} T &> LT > T^2 > "T \times LT" > LT^2 > "T \times BC" > \\ KF^2 &> BC > "BC \times KF" > KF > "T \times KF" > \\ "LT \times KF" &> BC^2 > "LT \times BC" \end{aligned}$$

بارگذاری بیشتر شد. این مدل علاوه‌بر مقدار P کم

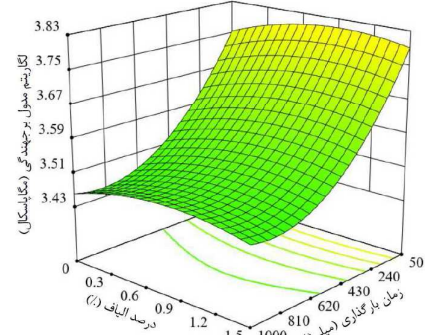
(۱) ضریب رگرسیونی به ترتیب برابر



(الف)-برهم‌کنش دما و زمان بارگذاری بر مدول برجهندگی



(ج)-برهم‌کنش دما و درصد الیاف بر مدول برجهندگی



(ه)-برهم‌کنش زمان بارگذاری و درصد الیاف بر مدول برجهندگی

-۲- مدل به دست آمده نشان داد که علاوه‌بر تمامی متغیرهای اولیه، برهم‌کنش میان دما با زمان بارگذاری، درصد قیر و درصد الیاف، برهم‌کنش میان زمان بارگذاری با درصد قیر و درصد الیاف، برهم‌کنش میان درصد قیر و درصد الیاف، مجذور دما، مجذور زمان بارگذاری، مجذور درصد قیر و

درصد قیر و KF درصد الیاف می‌باشد.

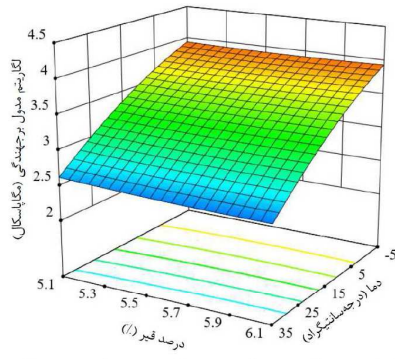
(ب) براساس شکل موج بارگذاری مربعی:

$$T > LT > T^2 > "T \times LT" > LT^2 > KF^2 >$$

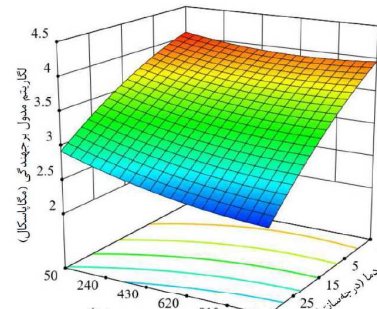
$$"BC \times KF" > BC > "T \times BC" > BC^2 >$$

$$"T \times KF" > KF > "LT \times BC" > "LT \times KF"$$

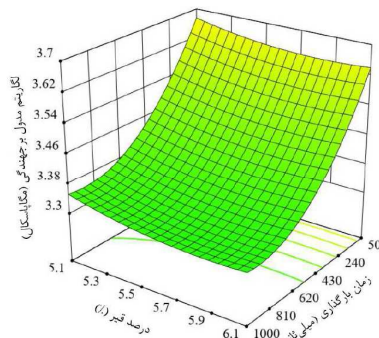
که T دمای بارگذاری، LT زمان بارگذاری، BC



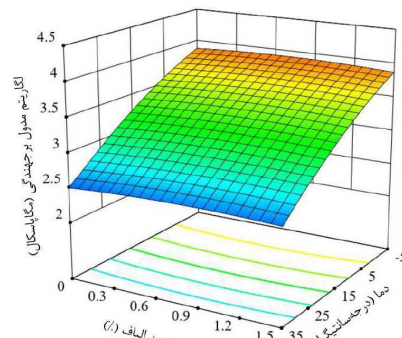
(ب)-برهمکنش دما و درصد قیر بر مدول برجهندگی



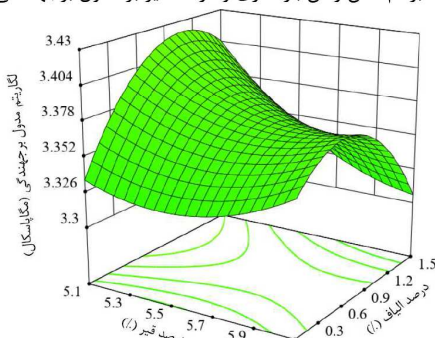
(الف)-برهمکنش دما و زمان بارگذاری بر مدول برجهندگی



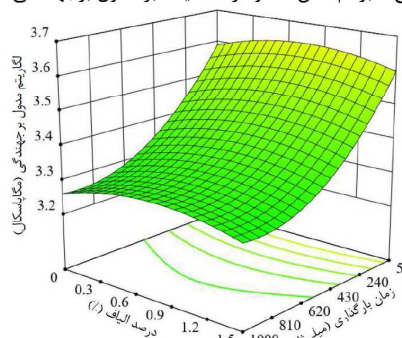
(د)-برهمکنش زمان بارگذاری و درصد قیر بر مدول برجهندگی.



(ج)-برهمکنش دما و درصد الیاف بر مدول برجهندگی.



(و)-برهمکنش درصد قیر و درصد الیاف بر مدول برجهندگی.



(ه)-برهمکنش زمان بارگذاری و درصد الیاف بر مدول برجهندگی.

شکل ۵-برهمکنش پارامترهای ورودی بر مدول برجهندگی به دست آمده براساس شکل موج مربعی

سینوسی 0.9785 و برای بارگذاری مربعی سینوسی 0.9766 با توجه به تفاوت کمتر از 0.01 میان آنها بود.

۴- با افزایش زمان بارگذاری، مقدار مدول برجهندگی

۳- مقدار R^2 پیش‌بینی شده (برای بارگذاری نیم سینوسی 0.9795 و برای بارگذاری مربعی 0.9777) نشان‌دهنده سازگاری منطقی آن با مقدار R^2 تعديل‌یافته (برای بارگذاری نیم

می‌باید و نمودار آن حالت خطی دارد. این موضوع نشان می‌دهد که انعطاف‌پذیری رویه آسفالتی با افزایش درصد قیر به طور یکنواخت افزایش می‌باید.

۶- افزایش درصد الیاف تا مقدار مشخصی باعث افزایش مدول برجهندگی می‌شود و سپس با افزایش درصد الیاف از مقدار بهینه مدول برجهندگی کاهش می‌باید. با توجه به اشکال، مقدار بهینه در حدود $0^{\circ}/9$ می‌باشد.

مخلوط‌های آسفالتی کاهش می‌باید. همچنین دیده می‌شود که مقدار مدول برجهندگی تحت اثر بارگذاری مربعی کمتر از مقدار مدول برجهندگی تحت اثر بارگذاری نیم سینوسی است.

با افزایش دما نیز مدول برجهندگی کم می‌شود و شبیه آن در مقایسه با افزایش زمان بارگذاری بیشتر است.

۵- با افزایش دما، زمان بارگذاری یا الیاف مدول برجهندگی در اثر افزایش درصد قیر کاهش

منابع

- [1] Fang, X.-Q., Tian, J.-Y., Yang, S.-P., & Li, B.-L. (2019). "Elastic-slip interface effect on effective elastic modulus of elliptical-fiber reinforced asphalt concrete with large deformation". *Archives of Civil and Mechanical Engineering*, 19(3), 707-715.
- [2] Alsaif, A., Bernal, S. A., Guadagnini, M., & Pilakoutas, K. (2018). "Durability of steel fibre reinforced rubberised concrete exposed to chlorides". *Construction and Building Materials*, 188, 130-142.
- [3] Alsaif, A., Koutas, L., Bernal, S. A., Guadagnini, M., & Pilakoutas, K. (2018). "Mechanical performance of steel fibre reinforced rubberised concrete for flexible concrete pavements". *Construction and Building Materials*, 172, 533-543.
- [4] Dalhat, M., Osman, S., Alhuraish, A.-A. A., Almarshad, F. K., Qarwan, S. A., & Adesina, A. Y. (2020). "Chicken Feather fiber modified hot mix asphalt concrete: Rutting performance, durability, mechanical and volumetric properties". *Construction and Building Materials*, 239, 117849.
- [5] Luo, D., Khater, A., Yue, Y., Abdelsalam, M., Zhang, Z., Li, Y., & Iseley, D. T. (2019). "The performance of asphalt mixtures modified with lignin fiber and glass fiber: A review". *Construction and Building Materials*, 209, 377-387.
- [6] Bocci, E., & Prosperi, E. (2020). "Recycling of reclaimed fibers from end-of-life tires in hot mix asphalt". *Journal of Traffic and Transportation Engineering, (English Edition)*.
- [7] Abiola, O., Kupolati, W., Sadiku, E., & Ndambuki, J. (2014). "Utilisation of natural fibre as modifier in bituminous mixes: A review". *Construction and Building Materials*, 54, 305-312.
- [8] Da Silva, L., Benta, A., & Picado-Santos, L. (2018). "Asphalt rubber concrete fabricated by the dry process: Laboratory assessment of resistance against reflection cracking". *Construction and Building Materials*, 160, 539-550.
- [9] Li, Z., Zhang, X., Fa, C., Zhang, Y., Xiong, J., & Chen, H. (2020). "Investigation on characteristics and properties of bagasse fibers: Performances of asphalt mixtures with bagasse fibers". *Construction and Building Materials*, 248, 118648.
- [10] Qin, X., Shen, A., Guo, Y., Li, Z., & Lv, Z. (2018). "Characterization of asphalt mastics reinforced with basalt fibers". *Construction and Building Materials*, 159, 508-516.
- [11] Slebi-Acevedo, C. J., Lastra-González, P., Castro-Fresno, D., & Bueno, M. (2020). "An experimental laboratory study of fiber-reinforced asphalt mortars with polyolefin-aramid and polyacrylonitrile fibers". *Construction and Building Materials*, 248, 118622.
- [12] Tanzadeh, J., & Shahrezagamasaei, R. (2017). "Laboratory assessment of hybrid fiber and nano-silica on reinforced porous asphalt mixtures". *Construction and Building Materials*, 144, 260-270.
- [13] Ziari, H., & Moniri, A. (2019). "Laboratory evaluation of the effect of synthetic Polyolefin-glass fibers on performance properties of hot mix asphalt". *Construction and Building Materials*, 213, 459-468.
- [14] Cleven, M.A., (2000). *Investigation of the properties of carbon fiber modified asphalt mixtures*, (Master's thesis, Michigan Technological University).
- [15] Wu, S., Ye, Q., & Li, N. (2008), "Investigation of rheological and fatigue properties of asphalt mixtures containing polyester fibers". *Construction and Building Materials*, 22(10), 2111-2115.
- [16] Tapkin, S. (2008), "The effect of polypropylene fibers on asphalt performance". *Building and Environment*, 43(6), 1065-1071.

- [17] Taherkhani, H., & Amini, H. (2016). "Investigating the Properties of Nylon Fiber Reinforced Asphalt Concrete". *International Journal of Science and Engineering Investigations*, 5(48), 1-6.
- [18] Putman, B.J. (2011). "Effects of fiber finish on the performance of asphalt binders and mastics". *Advances in Civil Engineering*, 2011.
- [19] Noorvand, H., Salim, R., Medina, J., Stempihar, J., & Underwood, B.S. (2018). "Effect of synthetic fiber state on mechanical performance of fiber reinforced asphalt concrete". *Transportation Research Record*, 2672(28), 42-51.
- [20] Kaloush, K. E., Biligiri, K. P., Zeiada, W. A., Rodezno, M. C., & Reed, J. X. (2010). "Evaluation of fiber-reinforced asphalt mixtures using advanced material characterization tests". *Journal of Testing and Evaluation*, 38(4), 400-411.
- [21] Fazaeli, H., Yousef, S., Pirnoun, A., & Dabiri, A. (2016). "Laboratory and field evaluation of the warm fiber reinforced high performance asphalt mixtures (case study Karaj-Chaloos Road)". *Construction and Building Materials*, 122, 273-283.
- [22] Mirabdolazimi, S., & Shafabakhsh, G. (2017). "Rutting depth prediction of hot mix asphalts modified with fortia fiber using artificial neural networks and genetic programming technique". *Construction and Building Materials*, 148, 666-674.
- [23] Jaskuła, P., Stienss, M., & Szydłowski, C. (2017). "Effect of polymer fibres reinforcement on selected properties of asphalt mixtures". *Procedia Engineering*, 172, 441-448.
- [24] Underwood, B.S., & Zeiada, W. (2015). Layer Coefficient Calibration of Fiber Reinforced Asphalt Concrete Based On Mechanistic Empirical Pavement Design Guide.
- [25] Al-Qadi, I. L., Elseifi, M. A., Yoo, P. J., Dessouky, S. H., Gibson, N., Harman, T., ... & Petros, K. (2008). "Accuracy of current complex modulus selection procedure from vehicular load pulse: NCHRP Project 1-37A mechanistic-empirical pavement design guide". *Transportation research record*, 2087(1), 81-90.
- [26] Fujie Zhou, E. F., & Scullion, T. (2010). *Development, calibration, and validation of performance prediction models for the texas ME flexible pavement design system*. Report No. FHWA/TX-10/0-5798-2, Texas Department of Transportation, Research and Technology Implementation Office, PO Box 5080, Austin, Texas.
- [27] AASHTO. (1996). *Standard test method for determining the resilient modulus of bituminous mixtures by indirect tension, AASHTO designation: TP 31*, Washington DC, United States: American Association of State Highway and Transportation Officials.
- [28] ASTM. (2011). Standard test method for determining the resilient modulus of bituminous mixtures by indirect tension test, ASTM designation: D 7369. Washington, DC, USA: ASTM International.
- [29] Hu, X., Zhou, F., Hu, S., & Walubita, L.F. (2010). "Proposed loading waveforms and loading time equations for mechanistic-empirical pavement design and analysis". *Journal of Transportation Engineering*, 136(6), 518-27.
- [30] Myers, R.H., & Montgomery, D.C. (2002). "Response Surface Methodology: process and product optimization using designed experiment". *A Wiley-Interscience Publication*.
- [31] AASHTO. (2010). *AASHTO T166: Bulk specific gravity of compacted bituminous mixtures using saturated surface-dry specimens*. Transportation Research Board, American Association of State Highway and Transportation Officials, Washington, D.C.
- [32] AASHTO. (2010). *AASHTO T245: Standard method of test for resistance to plastic flow of bituminous mixtures using Marshall Apparatus*. Transportation Research Board, American Association of State Highway and Transportation Officials, Washington, D.C.
- [33] AASHTO. (2010). *AASHTO T209: Theoretical Maximum Specific Gravity and Density of Hot Mix Asphalt (HMA)*. Transportation Research Board, American Association of State Highway and Transportation Officials, Washington, D.C.
- [34] Asphalt Institute. (1997). *Mix design methods, MS-2*. The Asphalt Institute manual series no. 2.
- [35] ASTM International. (1995). *ASTM D 4123: Standard Test Method for Indirect Tension Test for Resilient Modulus of Bituminous Mixtures*. West Conshohocken, PA: American Society for Testing and Materials.